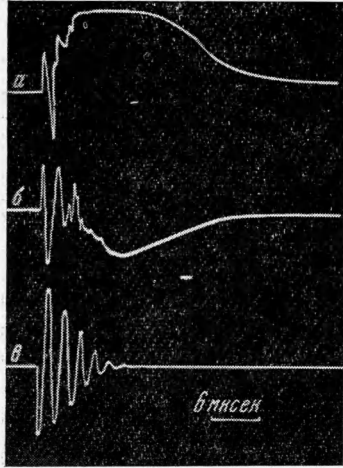


Высказанная гипотеза о механизме удержания горячей плазмы требует дополнения, объясняющего баланс давлений по сечению камеры, так как внутренняя ловушка с давлением  $\sim H^2 / 8\pi$  существует длительное время после того, как полностью исчезает встречное воздействие со стороны поля ударного витка.



Фиг. 2 Сигналы с магнитных зондов, установленных в плазме под витком на расстояниях: *a* —  $\sim 0.25R$ , *б* —  $\sim 0.9R$  от оси камеры, *в* — ток ударного витка.

Объяснение этому факту, видимо, следует искать в образовании цилиндрического слоя плазмы, прилегающего к стенке камеры и передающего ей давление захваченного поля. Существование пристеночного слоя плазмы убедительно проявляется в его экранирующем воздействии: магнитные измерения не обнаруживают поля у наружной стенки камеры (после окончания тока в ударном витке), тогда как внутри камеры поле фиксируется в непосредственной близости от стенок (фиг. 2, б).

Время существования ловушки в этом случае должно быть связано с диффузией поля, захваченного в объем радиуса  $R$ , через пристеночный слой с толщиной скина  $\delta$

$$t \sim \frac{R}{\delta} t_s \quad \left( t_s = \frac{\delta^2}{c^2} 4\pi\sigma \right)$$

( $t$  — скиновое время,  $\sigma$  — проводимость слоя).

Проведенные оценки показывают, что наблюдающиеся в эксперименте значения  $t$  (несколько десятков мксек) соответствуют наличию слоя, толщина которого меньше 1 см, а температура — порядка десятков эв.

Относительно высокая температура пристеночного слоя может поддерживаться за счет диссипации диффундирующего поля.

Авторы благодарят Г. И. Будкера за постоянное внимание и интерес к работе и Р. З. Сагдеева за помощь и участие в обсуждении результатов.

Поступило 17 XI 1964

#### ЛИТЕРАТУРА

1. Сагдеев Р. З. О тонкой структуре фронта ударной волны, распространяющейся поперек магнитного поля в разреженной плазме. Ж. техн. физ., 1961, т. 31, стр. 1185.
2. Искольдский А. М., Куртмуллаев Р. Х., Нестерихин Ю. Е., Пономаренко А. Г. Эксперименты по бесстолкновительной ударной волне в плазме. Ж. эксперим. и теор. физ., 1964, т. 47, вып. 2 (8).
3. V o d i n Н. А. В. et al. The influence of a trapped field of the characteristics of a magnetically compressed plasma (theatron). Nucl. Fusion Suppl., 1962, p. 2, 521.

#### ОБ ИЗМЕНЕНИИ ЭЛЕКТРОПРОВОДНОСТИ ИОНИЗОВАННОГО ГАЗА В НАЧАЛЬНОМ УЧАСТКЕ ПЛОСКОГО КАНАЛА

Я. С. Уфлянд, И. Б. Чекмарев

(Ленинград)

**§1. Постановка задачи.** Для изучения изменения электропроводности ионизованного газа в начальном участке канала рассмотрим следующую задачу. В плоском полубесконечном канале ( $x \geq 0$ ,  $|y| < a$ ) движется газ с заданной постоянной скоростью  $v$  и температурой  $T_0$ . В начальный момент времени  $t = 0$  во входном сечении канала ( $x = 0$ ) задается концентрация легкоионизируемой присадки  $n = n_0 f(t)$  и температура газа  $T = T_0 g(t)$ . Температуру стенок при  $t = 0$  примем равной  $T_0$ , а концентрацию присадки — равной нулю. Исследуется распределение температуры  $T(x, y, t)$  и концентрации присадки  $n(x, y, t)$  в зависимости от координат и времени.

В области канала искомые величины удовлетворяют приближенным уравнениям (см., например, [1-3])

$$\frac{\partial n}{\partial t} + v \frac{\partial n}{\partial x} = D \frac{\partial^2 n}{\partial y^2}, \quad \frac{\partial T}{\partial t} + v \frac{\partial T}{\partial x} = \frac{\lambda}{\rho c_p} \frac{\partial^2 T}{\partial y^2} \quad (1.1)$$

В области стенок канала температура удовлетворяет уравнению теплопроводности,

$$\frac{\partial T_w}{\partial t} - \frac{\lambda_w}{\rho_w c_w} \frac{\partial^2 T_w}{\partial y^2} \quad (1.2)$$

Начальные и граничные условия поставленной задачи имеют вид

$$\begin{aligned} n = 0, \quad T = T_0, \quad T_w = T_0 \quad \text{при } t = 0 \\ n = n_0 f(t), \quad T = T_0 g(t) \quad \text{при } x = 0 \\ n = 0, \quad T = T_w, \quad \lambda \partial T / \partial y = \lambda_w \partial T_w / \partial y \quad \text{при } |y| = a \end{aligned} \quad (1.3)$$

Переходя к безразмерным переменным

$$\beta = \frac{n}{n_0}, \quad \theta = \frac{T - T_0}{T_0}, \quad \tau = \frac{vt}{a}, \quad \xi = \frac{x}{a}, \quad \eta = \frac{y}{a} \quad (1.4)$$

получим

$$\frac{\partial \beta}{\partial \tau} + \frac{\partial \beta}{\partial \xi} = \frac{1}{\gamma} \frac{\partial^2 \beta}{\partial \eta^2}, \quad \frac{\partial \theta}{\partial \tau} + \frac{\partial \theta}{\partial \xi} = \frac{1}{\delta} \frac{\partial^2 \theta}{\partial \eta^2} \quad (|\eta| < 1) \quad (1.5)$$

$$\frac{\partial \theta_w}{\partial \tau} = \frac{1}{\delta_w} \frac{\partial^2 \theta_w}{\partial \eta^2} \quad (|\eta| > 1) \quad (1.6)$$

$$\beta = \theta = \theta_w = 0 \quad \text{при } \tau = 0 \quad (1.7)$$

$$\beta = f(\tau), \quad \theta = g(\tau) - 1 \quad \text{при } \xi = 0 \quad (1.8)$$

$$\beta = 0, \quad \theta = \theta_w, \quad \frac{\partial \theta}{\partial \eta} = \kappa \frac{\partial \theta_w}{\partial \eta} \quad \text{при } |\eta| = 1 \quad (1.9)$$

Здесь

$$\gamma = \frac{av}{D}, \quad \delta = \frac{\rho c_p av}{\lambda}, \quad \delta_w = \frac{\rho_w c_w av}{\lambda_w}, \quad \kappa = \frac{\lambda_w}{\lambda} \quad (1.10)$$

Если величины  $\beta$  ( $\xi, \eta, \tau$ ) и  $\theta$  ( $\xi, \eta, \tau$ ) найдены, то электропроводность газа в капале может быть вычислена следующим образом. Будем считать, что среда является смесью основного инертного газа и небольшого количества паров щелочной присадки. Тогда равновесная концентрация электронов определяется по формуле Саха [4, 5]

$$\frac{n_e^2}{n - n_e} = \left( \frac{2\pi m_e kT}{h^2} \right)^{3/2} \exp\left(-\frac{e\phi}{kT}\right) \quad (1.11)$$

Здесь  $n$  — концентрация присадки,  $\phi$  — потенциал ионизации присадки. В случае малой степени ионизации присадки  $n_e \ll n$  имеем

$$n_e = \sqrt{n} \left( \frac{2\pi m_e kT}{h^2} \right)^{3/4} \exp\left(-\frac{e\phi}{2kT}\right) \quad (1.12)$$

Электропроводность определяем по известной формуле

$$\sigma = \frac{n_e e^2 \tau_e}{m_e} \left( \tau_e = \frac{l_e}{v_e}, \quad v_e = \frac{\sqrt{8kT}}{\sqrt{\pi m_e}} \right)$$

Здесь  $\tau_e$  — время между столкновениями электрона с тяжелыми частицами,  $l_e$  — средняя длина свободного пробега электрона,  $v_e$  — тепловая скорость электрона. Подставляя выражения  $n_e$  и  $T$  через  $\beta$  и  $\theta$  и вводя величину  $\sigma_0 = \sigma$  при  $\xi = 0$ , для безразмерной электропроводности  $\sigma^\circ = \sigma / \sigma_0$ , получим

$$\sigma^\circ = \left( \frac{\beta}{f} \right)^{1/2} \left( \frac{1 + \theta}{g} \right)^{1/4} \exp\left[ \frac{e\phi}{2kT_0} \left( \frac{1}{g} - \frac{1}{1 + \theta} \right) \right] \quad (1.13)$$

§ 2. Общее решение задачи и некоторые частные случаи. Применяя последовательно преобразования Лапласа

$$F(\tau) = \int_0^\infty e^{-p\tau} f d\tau, \quad F(\xi) = \int_0^\infty e^{-s\xi} f d\xi \quad (2.1)$$

по переменным  $\tau$  и  $\xi$ , получим уравнения

$$\frac{d^2\beta(\tau, \xi)}{d\eta^2} = \gamma(p+s)\beta(\tau, \xi) - \gamma f(\tau)$$

$$\frac{d^2\theta(\tau, \xi)}{d\eta^2} = \delta(p+s)\theta(\tau, \xi) + \delta\left(\frac{1}{p} - g(\tau)\right), \quad \frac{d^2\theta_w(\tau, \xi)}{d\eta^2} = \delta_w p \theta_w(\tau, \xi) \quad (2.2)$$

и граничные условия при  $\eta = \pm 1$

$$\beta(\tau, \xi) = 0, \quad \theta(\tau, \xi) = \theta_w(\tau, \xi), \quad \frac{d\theta(\tau, \xi)}{d\eta} = \kappa \frac{d\theta_w(\tau, \xi)}{d\eta} \quad (2.3)$$

Опуская промежуточные выкладки, приводим окончательные выражения для преобразованных от искомых величин

$$\beta(\tau, \xi) = \frac{f(\tau)}{p+s} \left[ 1 - \frac{\text{ch } \eta \sqrt{\gamma(p+s)}}{\text{ch } \sqrt{\gamma(p+s)}} \right] \quad (2.4)$$

$$\theta(\tau, \xi) = \frac{g(\tau) - p^{-1}}{p+s} \left[ 1 - \frac{\text{ch } \eta \sqrt{\delta(p+s)}}{\text{ch } \sqrt{\delta(p+s)} + \kappa^{-1} \sqrt{(\delta/\delta_w)(p+s)/p} \text{sh } \sqrt{\delta(p+s)}} \right] \quad (2.5)$$

Дальнейшие вычисления будем производить для случая постоянных значений  $f(\tau) = 1$  и  $g(\tau) = m$ , так как из этого решения случай произвольной зависимости от времени может быть получен при помощи интеграла Дюамеля. Функция  $\beta$  пропорциональна функции  $\theta$  при  $\kappa \rightarrow \infty$ , поэтому достаточно выполнить обращение в формуле (2.5). Полагая  $q = \delta(p+s)$ , получим

$$\theta(\tau, \xi) = \frac{\delta(m-1)}{pq} \left[ 1 - \frac{\text{ch } \eta \sqrt{q}}{\text{ch } \sqrt{q} + \alpha \sqrt{q/p} \text{sh } \sqrt{q}} \right], \quad \alpha = \frac{1}{\kappa \sqrt{\delta_w}} \quad (2.6)$$

Применение формулы Римана — Меллина дает

$$\theta = \frac{m-1}{2\pi i} \int_{\sigma_1 - i\infty}^{\sigma_2 + i\infty} \exp \frac{q\xi}{\delta} \frac{dq}{q} \frac{1}{2\pi i} \int_{\sigma_2 - i\infty}^{\sigma_2 + i\infty} e^{p(\tau - \xi)} \left[ \frac{1}{p} - \frac{1}{\sqrt{p}(\sqrt{p} + \mu)} \frac{\text{ch } \eta \sqrt{q}}{\text{ch } \sqrt{q}} \right] dp$$

$$\mu = \alpha \sqrt{q} \text{th } \sqrt{q} \quad (2.7)$$

Вычисляя внутренний интеграл при помощи формулы

$$\frac{1}{2\pi i} \int_{\sigma_2 - i\infty}^{\sigma_2 + i\infty} \frac{e^{pu} dp}{\sqrt{p}(\sqrt{p} + \mu)} = e^{\mu^2 u} [1 - \Phi(\mu \sqrt{u})] \quad (u > 0) \quad (2.8)$$

где  $\Phi(z)$  — функция вероятности, приходим к решению задачи в виде однократного интеграла

$$\theta = 0, \quad \tau < \xi$$

$$\theta = \frac{m-1}{2\pi i} \int_{\sigma_1 - i\infty}^{\sigma_1 + i\infty} \exp \frac{q\xi}{\delta} \left\{ i - \frac{\text{ch } \eta \sqrt{q}}{\text{ch } \sqrt{q}} e^{\mu^2 u} [1 - \Phi(\mu \sqrt{u})] \right\} \frac{dq}{q}, \quad \tau > \xi \quad (2.9)$$

причем положено  $u = \tau - \xi$ .

Полученный результат показывает, прежде всего, что вдоль канала со скоростью  $v$  распространяется волна, форма которой зависит от переменных  $\xi$  и  $\tau - \xi$ .

Приведение интеграла (2.9) к виду, удобному для вычислений, оказывается достаточно сложным. Например, при помощи суммирования по вычетам в существенно особых точках  $q_n = -\frac{1}{4}(2n+1)^2 \pi^2$  можно представить решение в виде двойного ряда. Не приводя этих результатов, укажем еще на возможность получения приближенного решения при малых или больших значениях параметра  $\kappa = \lambda_w / \lambda$ .

При  $\kappa \rightarrow \infty$  ( $\alpha \rightarrow 0$ ) можно воспользоваться асимптотическим выражением  $\Phi(z) \approx 2\pi^{-1/2} z$  ( $|z| \rightarrow 0$ ) и получить решение в виде

$$\frac{\theta}{m-1} \Big|_{\tau > \xi} = \frac{1}{2\pi i} \int_{\sigma_1 - i\infty}^{\sigma_1 + i\infty} \exp \frac{q\xi}{\delta} \left[ 1 - \frac{\text{ch } \eta \sqrt{q}}{\text{ch } \sqrt{q}} \right] \frac{dq}{q} +$$

$$+ \frac{2\alpha \sqrt{\tau - \xi}}{\sqrt{\pi}} \frac{1}{2\pi i} \int_{\sigma_1 - i\infty}^{\sigma_1 + i\infty} \exp \frac{q\xi}{\delta} \frac{\text{ch } \eta \sqrt{q} \text{sh } \sqrt{q}}{\text{ch}^2 \sqrt{q}} \frac{dq}{\sqrt{q}} \quad (2.10)$$

В частности, в случае  $\alpha = 0$ , соответствующем постоянной температуре стенок канала, при помощи теоремы о вычетах находим

$$\theta|_{\tau > \xi} = \frac{4}{\pi} (m-1) \sum_{k=0}^{\infty} \frac{(-1)^k}{2k+1} \cos \frac{2k+1}{2} \pi \eta \exp \left[ -\frac{\xi}{\delta} \left( \frac{2k+1}{2} \pi \right)^2 \right] \quad (2.11)$$

В другом предельном случае ( $\kappa = 0$ ) теплоизолированных стенок канала получим

$$\theta = m-1 \quad \text{при } \xi < \tau, \quad \theta = 0 \quad \text{при } \xi > \tau \quad (2.12)$$

Таким образом, в обоих случаях значения температуры при  $\xi < \tau$  оказываются не зависящими от времени.

Что касается функции  $\beta$ , то на основании (2.4) она вообще не зависит от параметра  $\kappa$  и  $\beta \equiv 0$ , при  $\xi > \tau$ , а при  $\xi < \tau$  для  $\beta$  получаем выражение (2.11), в котором параметр  $\delta$  следует заменить на  $\gamma$ , а множитель  $(m-1)$  — на единицу.

Ограничиваясь первым членом в формуле (2.11), получим для длины  $\xi'$  теплового входного участка (при  $\kappa = \infty$ ) и длины  $\xi''$  диффузионного входного участка следующие приближенные выражения:

$$\xi' = 4\delta / \pi^2, \quad \xi'' = 4\gamma / \pi^2 \quad (2.13)$$

В случае теплоизолированных стенок из (2.12) следует, что входной участок отсутствует. Заметим, что отношение параметров  $\delta$  и  $\gamma$  представляет собой число Льюиса

$$L = \delta / \gamma = \rho c_p D / \lambda \quad (2.14)$$

Обычно  $L \approx 1$ , так что длины  $\xi'$  и  $\xi''$  являются величинами одного порядка.

Оценка параметра  $\delta$  для типичных условий в канале магнитогазодинамического генератора (например, для аргона при  $p = 1 \text{ ат}$ ,  $T = 3000^\circ \text{ К}$ ,  $a = 1 \text{ м}$ ,  $v = 10^3 \text{ м/сек}$ ) дает величину порядка  $10^6$ , т. е. длины теплового и диффузионного входных участков получаются значительно больше любой разумной длины канала. Отсюда вытекает, что в этих условиях можно пренебречь уменьшением температуры газа и концентрации присадки вдоль канала за счет теплового и диффузионного потоков на стенку. Следовательно, физические свойства стенок практически не сказываются на поведении электропроводности в ядре потока.

В заключение рассмотрим еще случай установившегося колебательного режима, когда  $f(\tau) = 1$ ,  $g(\tau) = 1 + v \sin \omega \tau$ , т. е.

$$f^{(\tau)} = \frac{1}{p}, \quad g^{(\tau)} = \frac{1}{p} + \frac{v\omega}{\omega^2 + p^2}$$

В этом случае концентрация  $\beta$  определяется формулой

$$\beta = \frac{4}{\pi} \sum_{k=0}^{\infty} \frac{(-1)^k}{2k+1} \cos \frac{2k+1}{2} \pi \eta \exp \left[ -\frac{\xi}{\gamma} \left( \frac{2k+1}{2} \pi \right)^2 \right] \quad (2.15)$$

а для нахождения  $\theta$  следует, используя (2.5), вычислить вычеты в полюсах  $p = \pm i\omega$ .

При  $\kappa = \infty$  получаем в результате выкладок

$$\theta = \frac{4v}{\pi} \sum_{k=0}^{\infty} (-1)^k \frac{\cos \frac{1}{2}(2k+1) \pi \eta \sin \omega (\tau - \xi)}{2k+1} \exp \left[ -\frac{\xi}{\delta} \left( \frac{2k+1}{2} \pi \right)^2 \right] \quad (2.16)$$

т. е. температура распространяется вдоль канала в виде затухающей волны со скоростью  $v$ , причем декремент затухания  $\Delta = 4\delta / \pi^2$  не зависит от частоты.

При  $\kappa = 0$  изменение температуры распространяется в виде незатухающей волны

$$\theta = v \sin \omega (\tau - \xi) \quad (2.17)$$

Влияние пульсаций температуры на изменение электропроводности потока нетрудно определить при помощи формулы (1.13).

Поступила 6 IV 1965

#### ЛИТЕРАТУРА

1. Т а р г С. М. Основные задачи теории ламинарных течений. Гостехиздат, 1951.
2. С л е з к и н Н. А. Динамика вязкой несжимаемой жидкости. Гостехиздат, 1955.
3. Э к к е р т Э. Р., Д р е й к Р. М. Теория тепло- и массообмена. Госэнергоиздат, 1961.
4. F r o s t L. S. Conductivity of seeded atmospheric pressure plasmas. J. Appl. Phys., 1961, vol. 32, No 10, p. 2029.
5. С м ы с л о в Ю. Н., Ч е к м а р е в И. Б. Магнитогидродинамический пограничный слой на пластине, обтекаемой высокотемпературным потоком при наличии вдува паров легкоионизирующейся присадки. Ж. техн. физ., 1954, т. 34, № 4, стр. 630.